



## درهم تنیدگی تقطیرپذیر در سامانه‌ی اتم دوترازه و فوتون‌های همدوس یا چلانده در کاواک اتلافی

فاطمه یداللهی<sup>۱</sup>، رزا صفاپه<sup>۲</sup>، محمد مهدی گلشن<sup>۱</sup>  
<sup>۱</sup>بخش فیزیک، دانشگاه شیراز، شیراز  
<sup>۲</sup>دانشکده فناوری‌های نوین، دانشگاه شیراز، شیراز

چکیده- در این مقاله درهم تنیدگی بین توزیع‌های فوتونی همدوس یا چلانده و یک اتم دوترازه، درون کاواکی اتلافی در دمای صفر مورد مطالعه قرار می‌گیرد. برای بررسی تحول زمانی درهم تنیدگی از معیار منفیت استفاده شده و بدین منظور معادله‌ی اصلی حاکم بر سامانه‌ی اتم-فوتون در تقریب سکولار، برای حالت اولیه‌ای که در آن توزیع فوتونی همدوس یا چلانده است، حل می‌شود. سپس عناصر ماتریس چگالی سامانه که به صورت تحلیلی به دست آمده‌اند ترانهاده‌ی جزئی شده و برای محاسبه‌ی عددی منفیت، مورد استفاده قرار می‌گیرد. محاسبات ما نشان می‌دهد که با افزایش میانگین اولیه‌ی فوتون‌ها، درهم تنیدگی اتم با توزیع همدوس نسبت به توزیع چلانده، بسیار سریع‌تر به سمت صفر میل می‌کند. هم‌چنین نشان می‌دهیم که درهم تنیدگی نور چلانده با اتم، در مقایسه با نور همدوس قوی‌تر و پایدارتر بوده و بازه‌های زمانی که در آن درهم تنیدگی اتم-فوتون تقطیرپذیر است، برای نور چلانده طولانی‌تر از نور همدوس است. این نتایج می‌تواند بالقوه در تولید حالت‌های اتم-فوتون با بیشینه‌ی درهم تنیدگی (حاصل از تقطیر) به کار رود.

کلید واژه- درهم تنیدگی اتم-فوتون، کاواک اتلافی، معادله‌ی اصلی، توزیع فوتونی همدوس، توزیع فوتونی چلانده.

## Distillable Entanglement between Photonic Coherent or Squeezed Distributions and a Two-Level Atom in a Damping Cavity

Fatemeh Yadollahi<sup>1</sup>, Roza Saffaiee<sup>2</sup>, Mohammad Mehdi Golshan<sup>1</sup>

<sup>1</sup> Physics Department, Shiraz University, Shiraz

<sup>2</sup> Faculty of Advanced Technologies, Shiraz University, Shiraz

Abstract- In the present study, the entanglement between photonic coherent or squeezed distributions and a two-level atom in a leaky cavity at zero temperature, is reported. To investigate the time evolution of atom-photon entanglement the master equation for the density matrix, in the secular approximation, is solved. We then proceed by partial transposing the analytical expressions so obtained to numerically compute the negativity as a function of time. Our results demonstrate that as the initial photon mean number increases, the atom-photon entanglement decays at a faster pace for the coherent distribution compared to the squeezed distribution. Moreover, it is shown that the degree of atom-photon entanglement is much higher and more stable for the squeezed distribution than that for the coherent one. A consequence of the latter is that the time intervals during which the atom-photon entanglement is distillable is longer for the squeezed distribution. The results of the present report are of great potential in forming maximal entangled states of atom-photon systems, through distillation.

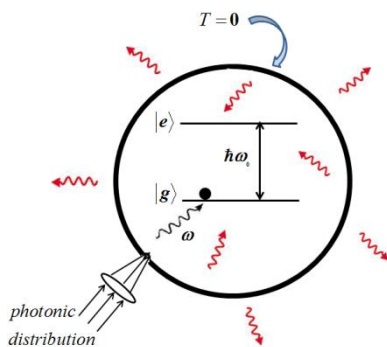
Keywords: atom-photon entanglement, cavity damping, master equation, photonic coherent distribution, photonic squeezed distribution.

## ۱- مقدمه

میانگین اولیه فوتون‌ها، درهم‌تنیدگی نور همدوس با اتم از درهم‌تنیدگی نور چلانده با اتم سریع‌تر کاهش می‌یابد.

## ۲- معادله اصلی

مطابق شکل ۱ برهم‌کنش یک میدان تک‌مد با فرکانس  $\omega$  و یک اتم دوترازه که  $|g\rangle$  و  $|e\rangle$  به ترتیب حالت‌های پایه و برانگیخته‌اش را نمایش می‌دهند، در یک کاواک اتلافی در دمای صفر در نظر می‌گیریم.



شکل ۱: برهم‌کنش اتم دوترازه با میدان تک‌مد در کاواک اتلافی در دمای صفر.

معادله‌ی حاکم بر سامانه‌ی اتم-فوتون در حضور میرایی، معادله‌ی اصلی نامیده می‌شود که در دمای صفر در تصویر برهم‌کنش به صورت زیر است [۵]:

$$\dot{\rho} = -\frac{i}{\hbar}[H_I, \rho] - \frac{\gamma}{2}(a^\dagger a \rho - 2a \rho a^\dagger + \rho a^\dagger a) \quad (1)$$

در رابطه‌ی اخیر،  $a^\dagger$  و  $a$  به ترتیب عملگرهای خلق و نابودی میدان هستند و  $\rho$  عملگر چگالی توصیف‌کننده‌ی سامانه‌ی اتم-فوتون است.  $\gamma$  ضریب میرایی میدان کاواک است و در رابطه‌ی  $\gamma = \omega/Q$ ، که در آن  $Q$  ضریب کیفیت کاواک است، صدق می‌کند. هم‌چنین  $H_I$  هامیلتونی برهم‌کنش اتم-فوتون در تصویر برهم‌کنش است که در حالت تشدید  $\omega = \omega_0$  برابر است با:

$$H_I = \hbar \lambda (a|e\rangle\langle g| + a^\dagger|g\rangle\langle e|) \quad (2)$$

که در آن  $\lambda$  جفتیدگی اتم-فوتون است.

## ۳- درهم‌تنیدگی حالت‌های سامانه

در این تحقیق از معیار منفیت برای محاسبه‌ی درهم‌تنیدگی استفاده می‌شود. مقیاس منفیت به ترتیب زیر تعریف می‌شود:

$$E_N = \sum_i \max(0, -\lambda_i) \quad (3)$$

درهم‌تنیدگی یکی از مفاهیم کاملاً کوانتومی است که نقش مهمی در تئوری اطلاعات کوانتومی، محاسبات کوانتومی، رمزنگاری کوانتومی و فرابرد کوانتومی دارد [۱]. در هر یک از این کاربردها اطلاعات ذخیره شده در سامانه‌ی درهم‌تنیده، از طریق کانال‌های ارتباطی پردازش و منتقل می‌شود. در این صورت و در عمل، این کانال‌ها اثراتی مخرب بر رفتار درهم‌تنیدگی، به‌ویژه حالتی از آن که بیشینه‌ی درهم‌تنیدگی را دارد، خواهد گذاشت. یک روش کارساز برای غلبه بر اثرات مخرب کانال‌های ارتباطی استفاده از تقطیر کوانتومی است [۲]. در ساده‌ترین صورت فرآیند تقطیر کوانتومی، جفت‌های درهم‌تنیده، با استفاده از عملگرهای موضعی و ارتباطات کلاسیکی به تعداد کمتری جفت با درهم‌تنیدگی بیشینه تبدیل می‌شوند [۳]. به‌عنوان یک قاعده‌ی کلی می‌توان گفت حالت‌هایی که ترانهاده‌ی جزئی ماتریس چگالی آن‌ها  $(\rho^{PT})$ ، یک ماتریس غیرمنفی باشد ( $\rho^{PT} \geq 0$ ) غیرقابل تقطیر هستند. از طرف دیگر، حالت‌هایی که دارای  $\rho^{PT} < 0$  باشند، می‌توانند قابل تقطیر یا غیرقابل تقطیر باشند [۳]. برای سامانه‌های دوجزئی که ابعاد آن  $2 \times N$  باشد، شرط لازم و کافی برای تقطیرپذیری این است که  $\rho^{PT} < 0$  باشد [۳]. از آن‌جا که فوتون‌ها حمل‌کننده‌ی سریع و ایده‌آل اطلاعات کوانتومی هستند و اتم‌ها واحدهای قابل اطمینان برای ذخیره‌سازی طولانی مدت و پردازش اطلاعات هستند، سامانه‌ی اتم-فوتون گزینه‌ی مناسبی برای ایجاد و کنترل حالت‌های درهم‌تنیده می‌باشد. از طرف دیگر با توجه به آن‌که به‌طور معمول برهم‌کنش اتم-فوتون در یک کاواک صورت می‌پذیرد و نیز این واقعیت که کاواک‌ها در عمل اتلافی هستند، اثر این اتلاف را بر رفتار درهم‌تنیدگی می‌باید مورد نظر قرار داد [۴]. نکته‌ی دیگر که در بررسی رفتار درهم‌تنیدگی و تعیین تقطیرپذیری آن حائز اهمیت است، توزیع اولیه‌ی فوتون‌ها می‌باشد. در این مقاله معیار منفیت به منظور بررسی درهم‌تنیدگی بین یک اتم دوترازه و توزیع فوتونی همدوس یا چلانده در یک کاواک اتلافی در دمای صفر به‌کار رفته است. محاسبات ما نشان‌دهنده‌ی این است که درهم‌تنیدگی اتم با نور چلانده، قوی‌تر و پایدارتر از درهم‌تنیدگی آن با نور همدوس است و در بازه‌ی زمانی طولانی‌تری تقطیرپذیر می‌باشد. هم‌چنین با افزایش

$$(۹) \langle e, m | \rho(t) | e, n \rangle = e^{-\frac{\gamma}{2}t(m+n+1)} C_{m+1} C_{n+1}^* \sin(\lambda t \sqrt{m+1}) \sin(\lambda t \sqrt{n+1}) \quad \forall m \neq n$$

$$(۱۰) \langle g, 0 | \rho(t) | g, n+1 \rangle = e^{-\frac{\gamma}{2}t(n+\frac{1}{2})} C_0 C_{n+1}^* \cos(\lambda t \sqrt{n+1})$$

$$\langle g, 0 | \rho(t) | e, n \rangle = i e^{-\frac{\gamma}{2}t(n+\frac{1}{2})} C_0 C_{n+1}^* \sin(\lambda t \sqrt{n+1}) \quad (۱۱)$$

$$(۱۲) \langle g, 0 | \rho(t) | g, 0 \rangle = |C_0|^2 + \frac{\gamma}{2} \int_0^t F_0(t) dt$$

$$\langle g, n+1 | \rho(t) | g, n+1 \rangle =$$

$$(۱۳) \frac{1}{2} [F_n(t) + e^{-\frac{\gamma}{2}t(2n+1)} |C_{n+1}|^2 \cos(\lambda t \sqrt{n+1})]$$

$$\langle e, n | \rho(t) | e, n \rangle =$$

$$(۱۴) \frac{1}{2} [F_n(t) - e^{-\frac{\gamma}{2}t(2n+1)} |C_{n+1}|^2 \cos(\lambda t \sqrt{n+1})]$$

که در آن

$$F_n(t) = e^{-\frac{\gamma}{2}t(n+\frac{1}{2})} [|C_{n+1}|^2 + \sum_{j=n+1}^M \frac{(j+\frac{1}{2})! (1-e^{-\gamma t})^{j-n}}{(j-n)! (n+\frac{1}{2})!} |C_{j+1}|^2] \quad (۱۵)$$

است. در روابط (۷) تا (۱۵)،  $m, n = 0, 1, 2, \dots$  می باشد و می توان نشان داد برای حالت چلانده در این روابط  $C_x$  به  $C_{x/2}$  تبدیل می شود. با داشتن درایه های ماتریس چگالی به راحتی می توان آن را ترانهادهی جزئی نمود. از آن جا که ابعاد ماتریس چگالی ترانهادهی جزئی بسیار بزرگ است، برای محاسبه ی ویژه مقادیر آن باید به روش های عددی متوسل شد.

#### ۴- نتایج عددی

به منظور بررسی اثر توزیع فوتونی اولیه بر درهم تنیدگی اتم-فوتون، رفتار منفیت برحسب  $\tau = \lambda t$  (زمان بدون بعد) به ازای  $\bar{n} = 8, 16, 24$  و  $\gamma/\lambda = 0.01$  (نسبت میرایی به جفتیدگی) برای توزیع همدوس و چلانده، به ترتیب در شکل های ۲ و ۳ نشان داده شده است. همان گونه که انتظار می رود در لحظه ی اولیه به دلیل جداپذیر بودن حالت سامانه، درهم تنیدگی صفر است. از طرفی به ازای هر  $\bar{n}$ ، درجه ی درهم تنیدگی اتم-فوتون درحالی که نوسان می کند کاهش می یابد تا این که به صورت مجانبی به صفر میل کند. این رفتار زمانی درهم تنیدگی را می توان بدین صورت توضیح داد که در اثر برهم کنش فوتون ها با مدهای کاواک، آنسامبل اتم-فوتون شروع به آمیخته شدن می کند و بنابراین در لحظات اولیه ی برهم کنش، درهم تنیدگی رو به افزایش می رود. از آن جا که اتم و فوتون در طول برهم کنش با یکدیگر تبادل انرژی دارند، درهم تنیدگی یک رفتار نوسانی را از خود

در این رابطه  $\lambda$  ویژه مقدار ماتریس  $\rho^{PT}$  است. اگر مقیاس  $E_N$  مثبت شود، سامانه درهم تنیده است و جایی که صفر شود، در مورد درهم تنیده بودن یا نبودن حالت ها نمی توان چیزی گفت. در این مقاله فرض می کنیم در لحظه ی اولیه، اتم در حالت پایه ی  $|g\rangle$  قرار دارد و یک توزیع فوتونی همدوس یا چلانده با استفاده از چیدمان آزمایشگاهی که به-ترتیب در [۶] و [۷] ارائه شده، تولید شده و به درون کاواک هدایت می شود. لازم به توضیح است که بسط حالت های همدوس و چلانده برحسب حالت های عددی به ترتیب به-صورت زیر است:

$$|\alpha\rangle = e^{-\frac{|\alpha|^2}{2}} \sum_{n=0}^{\infty} \frac{\alpha^n}{\sqrt{n!}} |n\rangle \quad (۴)$$

$$(۵) \quad |\zeta\rangle = \frac{1}{\sqrt{\cosh r}} \sum_{n=0}^{\infty} \frac{\sqrt{(2n)!}}{2^n n!} (-\tanh r)^n |2n\rangle$$

به طوری که  $\bar{n} = |\alpha|^2$  و  $\bar{n} = \sinh^2 r$  به ترتیب میانگین تعداد فوتون ها در توزیع همدوس و چلانده است. بنابراین حالت اولیه ی سیستم اتم-فوتون که خالص و جداپذیر است، به صورت زیر است:

$$\rho(0) = \rho_A(0) \otimes \rho_F(0) = \sum_{m,n=0}^{\infty} C_n C_m^* |g, n\rangle \langle g, m| \quad (۶)$$

برای محاسبه ی منفیت، ابتدا باید ماتریس  $\rho(t)$  را به دست آوریم. بدین منظور با تبدیل یکانی  $W(t) = e^{iH_I t/\hbar} \rho(t) e^{-iH_I t/\hbar}$  معادله ی (۱) به معادله ی ساده-تری برای  $W(t)$  تبدیل می شود. با حل معادله ی جدید، عناصر ماتریس  $W(t)$  را در پایه های  $H_I$  به دست می آوریم. در این مرحله از تقریب سکولار استفاده کنیم که در آن به-دلیل این که برهم کنش اتم-فوتون بسیار قوی تر از اتلاف انرژی در کاواک است ( $\lambda \gg \gamma$ )، از جملات شدیداً نوسان کننده صرف نظر می کنیم. در نهایت با انجام عکس تبدیل یکانی فوق الذکر، عناصر ماتریس  $\rho(t)$  را در پایه ی اتم-فوتون به صورت کاملاً تحلیلی به دست می آوریم:

$$\langle g, m+1 | \rho(t) | g, n+1 \rangle = e^{-\frac{\gamma}{2}t(m+n+1)} C_{m+1} C_{n+1}^* \cos(\lambda t \sqrt{m+1}) \cos(\lambda t \sqrt{n+1}) \quad \forall m \neq n \quad (۷)$$

$$(۸) \langle g, m+1 | \rho(t) | e, n \rangle = i e^{-\frac{\gamma}{2}t(m+n+1)} C_{m+1} C_{n+1}^* \cos(\lambda t \sqrt{m+1}) \sin(\lambda t \sqrt{n+1}) \quad \forall m \neq n$$

همدوس با اتم است زیرا به ازای  $\bar{n}$  یکسان، توزیع احتمال برای نور همدوس متقارن تر و یکنواخت تر از نور چلانده است و با گذشت زمان نیز این یکنواختی بیش تر حفظ می شود و بنا بر دلیل ارائه شده در پاراگراف قبل، سامانه سریع تر به حالت پایه می رود در نتیجه درهم تنیدگی سریع تر از بین می رود. از آن جا که سامانه  $2 \times N$  است، در بازه هایی که منفیت دارای مقادیر غیر صفر است، درهم تنیدگی تقطیرپذیر است. در زمان هایی که منفیت صفر است، اگر سامانه درهم تنیده باشد، لزوماً غیر قابل تقطیر است.

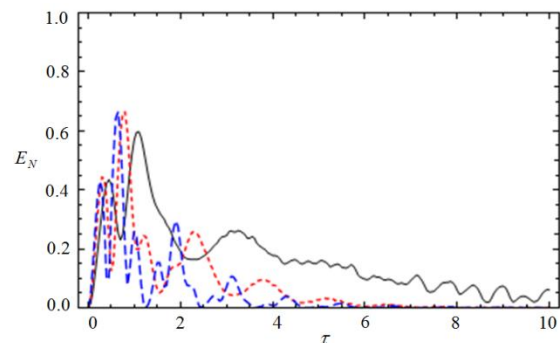
### ۵- نتیجه گیری

در این مقاله درهم تنیدگی بین یک اتم دوترازه با فوتون های همدوس و چلانده در یک کاواک اتلافی در دمای صفر مورد مطالعه قرار گرفته است. نتایج محاسبات ما حاکی از آن است که درهم تنیدگی نور چلانده با اتم قوی تر و پایدارتر از درهم تنیدگی نور همدوس با اتم است. درهم تنیدگی نور چلانده در مقایسه با نور همدوس در مدت زمان طولانی تری قابل تقطیر است. هم چنین با افزایش میانگین اولیه فوتون ها، نرخ کاهش درهم تنیدگی اتم با نور همدوس نسبت به نور چلانده بیش تر است.

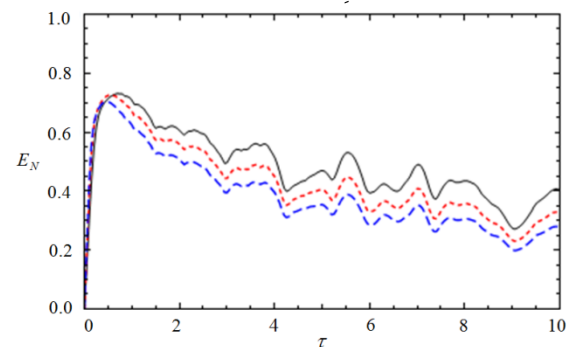
### مراجع

- [1] A. Reiserer, N. Kalb, G. Rempe, S. Ritter, "A quantum gate between a flying optical photon and a single trapped atom", *Nature*, Vol. 508, pp. 237-240, 2014.
- [2] D. Bruß, "Characterizing entanglement", *J. Math. Phys.*, Vol. 43, pp. 4237-4251, 2002.
- [3] X.-F. Cai, X.-T. Yu, L.-H. "Partially entangled states bridge in quantum teleportation", *Front. Phys.*, Vol. 9, pp. 646-651, 2014.
- [4] V. Ceban, M. A. Macovei, "Cavity quantum interferences with three-level atoms", *J. Opt. Soc. Amer. B*, Vol.33, pp. 942-946, 2016.
- [5] H. J. Carmichael, *Statistical Methods in Quantum Optics I: Master Equations and Fokker-Plank Equations*, p.16, Springer, 2000.
- [6] N. Bruno, A. Martin, R. T. Thew, "Generation of tunable wavelength coherent states and heralded single photons for quantum optics", *Opt. Commun.*, Vol. 327, pp. 17-21, 2014.
- [7] V. Chille, S. Berg-Johansen, M. Semmler, P. Banzer, A. Aiello, G. Leuchs, C. Marquardt, "Experimental generation of amplitude squeezed vector beams", *J. Opt. Soc. Amer.*, Vol. 24, pp. 12385-12394, 2016.

بروز می دهد. از طرفی به دلیل خروج انرژی از کاواک (کاواک اتلافی)، در زمان های طولانی،  $\tau \ll \lambda/\gamma$ ، سامانه در حالت پایه ی خود ( $|g,0\rangle$ ) که یک حالت جداپذیر است، قرار می گیرد. در نتیجه دامنه ی نوسانات درهم تنیدگی کاهش می یابد و به طور مجانبی به صفر میل می کند. همان طور که از این دو شکل مشاهده می شود با افزایش  $\bar{n}$  نرخ کاهش درهم تنیدگی افزایش می یابد. این پدیده را می توان با استفاده از تابع توزیع احتمال فوتونی اولیه که برای نور همدوس و چلانده به ترتیب با  $\langle n|\alpha\rangle^2$  و  $\langle n|\xi\rangle^2$  داده می شود، توجیه کرد. بدین صورت که با افزایش  $\bar{n}$ ، تابع توزیع احتمال بین تعداد بیش تری حالت فوتونی و به طور یکنواخت تری توزیع می شود. از طرفی به دلیل وجود اتلاف، آن توزیعی که یکنواخت تر است با گذشت زمان سریع تر پهن می شود به طوری که احتمال حضور حالت های برانگیخته در زمان های کوتاه تری صفر می شود. در نتیجه سامانه به حالت پایه رفته و درهم تنیدگی از بین می رود.



شکل ۲: نمودار منفیت بر حسب  $\tau$  برای نور همدوس به ازای  $\gamma/\lambda = 0.01$  برای  $\bar{n} = 8$  (خط توپر سیاه)،  $\bar{n} = 16$  (نقطه چین قرمز) و  $\bar{n} = 24$  (خط چین آبی).



شکل ۳: نمودار منفیت بر حسب  $\tau$  برای نور چلانده به ازای  $\gamma/\lambda = 0.01$  برای  $\bar{n} = 8$  (خط توپر سیاه)،  $\bar{n} = 16$  (نقطه چین قرمز) و  $\bar{n} = 24$  (خط چین آبی).

نکنه ی دیگر این است که به ازای  $\bar{n}$  یکسان، درهم تنیدگی نور چلانده با اتم، قوی تر و پایدارتر از درهم تنیدگی نور